

蒸氣터빈에서의 蒸氣흐름의 三次元 解析과 블레이드 形狀에 關한 考察

金 喜 澈

A study on Blade Shapes and Three-Dimensional
Analysis to Steam Flow in the Steam Turbine

Hi cheol Kim

目 次

記號說明	4) 自由渦블레이드의 反動度
I. 序論	V. 固定블레이드 出口角이 一定한 블레이드
II. 環狀流路에서의 基礎式	V. 反動度가 一定한 블레이드
III. 自由渦理論	VI. 結論
1) 自由渦 固定블레이드	附錄
2) 自由渦 回轉블레이드	參考文獻
3) 自由渦블레이드의 速度線圖	

Abstract

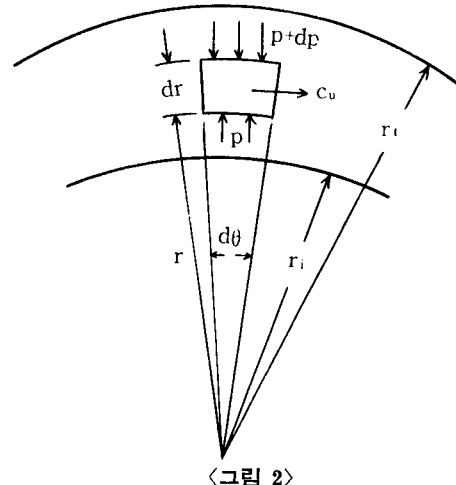
The design of turbine flow passages is primarily concerned with the shape and arrangement of nozzles(stationary blades) and moving blades. The blade is by far the most important element in any turbine design because the shape of blade determines the form of the flow passages. Thus the careful attention should be given to develop the correct blade shape. Any deviation from the correct blade shape is accompanied by loss of efficiency. The data for the design of blade, presented thus far, has been restricted to a representative section on a turbine blade taken at the mean blade height. However, it is apparent that the linear velocity of points on the blade varies directly as the radial distance from the center of rotation. In this paper, the velocity diagrams for blade of free-vortex, blade with constant reaction degree of 50 percent radially and fixed blade with constant exit angle are studied.

記 號 說 明

i : Enthalpy	α_1 : 固定블레이드 出口角
A : 일의熱當量	β_1 : 回轉블레이드 入口角
g : 重力의 加速度	β_2 : 回轉블레이드 出口角
C : 蒸氣速度	$\xi = \frac{u}{C_1}$: 速度比
C_p : 等壓比熱	ω : 角速度
R : 가스常數	C_1 : 絶對流入速度
K : 斷熱指數	C_2 : 絶對流出速度
C_r : 蒸氣의 軸方向分速度	w_1 : 相對流入速度
C_θ : 蒸氣의 圓周方向分速度	w_2 : 相對流出速度
r_c : 블레이드 平均半徑	() ₁ : 블레이드 밀의 位置
r_t : 블레이드 밀까지의 半徑	() ₂ : 블레이드 中點의 位置
r_s : 블레이드 尖端까지의 半徑	() ₃ : 블레이드 尖端의 位置
u : 回轉블레이드 周速	
ρ : 反動度	

I. 序 論

터어빈 블레이드(Blade)의 機能은 高速流體의 運動 Energy를 로우터(Rotor)의 連續的인 動力發生 Torque로 變換하는 것이며 그 機能은 極히 重要함에도 不拘하고 다른 複雜한 機械要素에 比해 輕視되는 傾向이 있었다. 實際로 蒸氣터어빈에 있어서는 使用蒸氣의 性狀에 따른 블레이드의 腐蝕와 侵蝕, 블레이드 設計不適으로 因한 블레이드入口端에서 衝突損失 및 振動問題等이 起起되고 있으며, 이와 같은 것을 考慮한다면 블레이드 設計에 있어서는 流體工學, 材料力學, 振動工學과 같은 分野의 共同作業이 必要하게 될 것이다. 本論文 에서는 單只 速度 Energy를 갖는 蒸氣의 흐름에 따라 블레이드가 하는 일을 運動量 理論을 適用한 流路理論(Channel theory)을 利用하여, 半徑方向으로의 速度線圖의 變化 및 블레이드 入口角 및 出口角의 變化狀態를 比較 檢討하였다. 從來 블레이드의 길이가 블레이드 平均直徑에 比해 작은 경우에는 平均半徑上에서 2次元 解析으로 速度線圖 및 線圖効率을 다루워 왔으나, 最近大容量 터어빈의 最終段落附近에서는 블레이드 밀과 尖端과의 半徑比가 1.5~2 程度로 되어서 길이가 큰 블레이드에 있어서는 半徑方向으로 速度線圖도 變하게 될것이므로 3次元의in 解析方法에 의하여 蒸氣에는 軸流速度外에 圓周方向, 半徑方向의 分速度와 이에 따른 遠心力으로 半徑方向으로 壓力差가 생긴다는 假定下에 自由渦블레이드, 固定블레이드의 出口角이 一定한 블레이드, 反動度가 一定한 블레이드에 關한 速度線圖와 블레이드 形狀에 關하여 考察하였다. 但 블레이드에서의 磨擦 및 涡流, 블레이드 入口端에서의 衝突, 틈에서의 漏洩等과 같은 内部損失은 無視하였다.



<그림 2>

$$\frac{g}{A} \frac{dE}{dr} = C_f \frac{dC_f}{dr} + C_{1u} \frac{dC_{1u}}{dr} + \frac{C_{1u}^2}{r} \dots (3)$$

(3)式은 半徑方向의 에너지 平衡方程式이 다.

III. 自由渦 理論

그림 1에서 固定블레이드 前에서 軸流速度가 一定하게 흐르고 있을 때에는 半徑方向으로의 全 Energy는 變動이 없다. 즉 $dE/dr=0$ 이므로 添字 1로서 固定블레이드 出口의 狀態를 나타내면

$$C_{1f} \frac{dC_{1f}}{dr} + C_{1u} \frac{dC_{1u}}{dr} + \frac{C_{1u}^2}{r} = 0 \dots (4)$$

(4)式의 解는 여러개 存在한다. 즉 多數의 流動狀態가 存在할 것이다.

但 여기서는 軸流速度分布 C_f 가 半徑方向으로 同一한 경우에 關하여 考察하면

$$C_{1f} = \text{一定} \dots (5)$$

$$\therefore \frac{dC_{1f}}{dr} = 0$$

이것을 (4)式에 代入하면

$$\frac{dC_{1u}}{dr} = -\frac{C_{1u}}{r}$$

$$\therefore C_{1u} \cdot r = \text{一定} \dots (6)$$

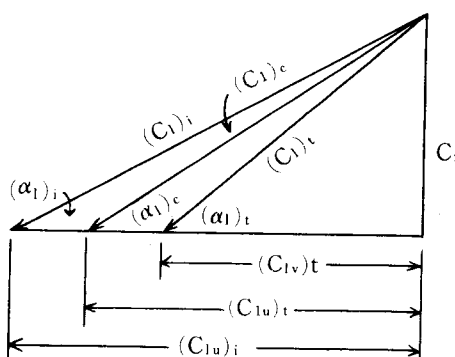
즉 圓周方向分速度는 半徑에 逆比例 함을 알 수 있다.

1) 自由渦 固定블레이드

(5)式, (6)式에 의해서 固定 블레이드의 速度線 圖는 그림 3과 같다. 이것으로부터 任意의 半徑 r 에서의 固定블레이드 出口角을 α_1 라면

$$\tan \alpha_1 = \frac{r}{r_c} \tan (\alpha_1)_c \dots (7)$$

의 關係가 成立하고 α_1 은 밑으로 부터, 尖端으로 向하여漸次增加하여 블레이드는 비틀림形으로 된다.



<그림 3>

回轉블레이드 各半徑上에서의 일 $A(W)$, α_1 同一한 경우에는 回轉블레이드 出口에서의 Energy는 同等하므로 $dE/dr=0$ 이고 (3)式에서 回轉블레이드 出口에서의 方程式은

$$C_{zf} \frac{dC_{zf}}{dr} + C_{zu} \frac{dC_{zu}}{dr} + \frac{C_{zu}^2}{r} = 0 \quad \dots\dots\dots(8)$$

또한 위의 假定에서

$$(W)_r = -\frac{u}{g} \quad (C_{1u} \pm C_{2u}) = -\frac{\omega}{g} \quad (C_{1u}r \pm C_{2u}r) = \text{一定}$$

i) 由 (6)式에서 $C_{1u} \cdot r = \text{一定}$ 이므로

$$C_{2u} \cdot r = \text{一定} \quad \dots\dots\dots(9)$$

즉 回轉블레이드 出口에서도 自由渦理論이 成立함을 알 수 있다.

(8)式에 (9)式을 代入하면

$$C_{zf} \frac{dC_{zf}}{dr} = 0$$

$$\therefore C_{zf} = \text{一定} \quad \dots\dots\dots(10)$$

즉 回轉블레이드 出口에서도 軸流速度分布는 一定이며 以上的 것을 綜合하면

a) 軸流速度分布가 均一

b) $C_{2u} \cdot r = \text{一定}$

c) 半徑方向에서의 量이 同一

인 경우의 블레이드를 自由渦블레이드라 할 수 있다.

3) 自由渦 블레이드의 速度線圖

한點 o 를 中心으로 하는 r 方向의 放射線을 I, II라하고 그 間隔을 周速 u 라 한다. 中心 r_c 上의 周速 u_c 를 \overline{ab} 라면 r_i, r_i 上의 周速은 $u_i = \overline{a_ib_i}, u_i = \overline{a_ib_i}$ 이다. $r=r_c$ 에서의 回轉블레이드의 入口, 出口의 速度線圖를 abd, abe 라 하고, 軸流速度는 一定하게 한다.

(6)式의 條件으로 부터 $C_{1u} = (C_{1u})_c r_c / r$ 的 關係를 利用하여 點 d 를 지나는 曲線 III을 그어, i) 것과 $r=r_c$ 에서의 $C_f = \text{一定}$ 인 線과의 交點을 d_i 라하면 $\overline{d_i a_i}$ 는 블레이드 尖端에서의 絶對速度 $(C_1)_i, \angle dba_i = (\beta_1)_i$ 이다. 回轉블레이드 出口에서는 (9)式에 의해서 $C_{2u} = (C_{2u})_c r_c / r$ 의 關係를 利用하여 e 點을 지나는 曲線 IV, IV, 을 그어, $C_f = \text{一定}$ 인 線과의 交點을 e_i 라면 $\overline{e_i b_i} = (w_2)_i, \overline{e_i a_i} = (C_2)_i, \angle e_i b_i a_i = (\beta_2)_i, \angle e_i a_i b_i = (\alpha_2)_i$ 로 된다.

i)와 같이 블레이드 尖端의 速度線圖가 定해지며, 任意의 r 에서의 速度線圖가 같은方法으로 定해지고, β_1, β_2 즉 블레이드形이決定된다. 그림 4에서 β_1, β_2 를 式으로 表示하면

$$\operatorname{Cot} \beta_1 = \frac{r}{r_c} \operatorname{Cot}(\beta_1)_c - \left(\frac{r}{r_c} - \frac{r_c}{r} \right) \operatorname{Cot}(\alpha_1)_c \quad \dots\dots\dots(11)$$

$$\operatorname{Cot} \beta_2 = \frac{r}{r_c} \operatorname{Cot}(\beta_2)_c - \left(\frac{r}{r_c} - \frac{r_c}{r} \right) \operatorname{Cot}(\alpha_2)_c \quad \dots\dots\dots(12)$$

(11), (12)式은 中心斷面의 翼形으로 부터 任意의 r 에서의 翼形을 定할 수 있다.

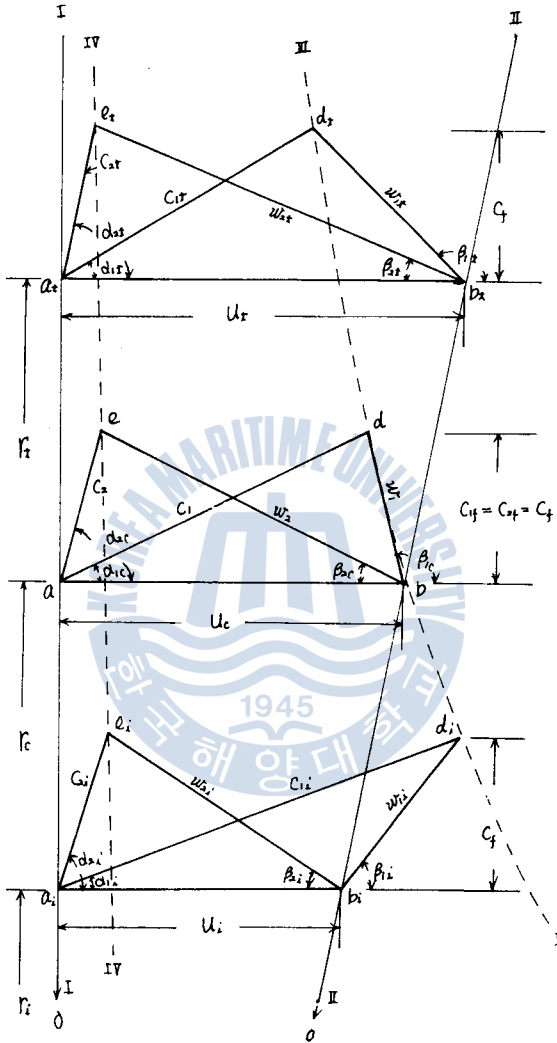


그림 4

4) 自由渦 블레이드의 反動度

反動度란 한 段落에서의 热落差에 對한 回轉블레이드에서의 热落差의 比로 表現되고 速度線 圖에서는

$$\rho = \frac{u - \frac{1}{2}(C_{1u} + C_{2u})}{u}$$

蒸氣터빈에서의 蒸氣흐름의 三次元解析과 블레이드形狀에 關한 考察

$\frac{r}{r_c}$	d_1	d_2	β_1	β_2	ρ
0.8	16°20'	103°10'	42°30'	23°45'	0.219
0.9	18°05'	101°25'	76°35'	21°45'	0.382
1.0	20°00'	100°00'	100°00'	20°00'	0.500
1.1	21°50'	98°30'	125°35'	18°30'	0.587
1.2	23°35'	97°45'	140°50'	17°10'	0.652

표 1

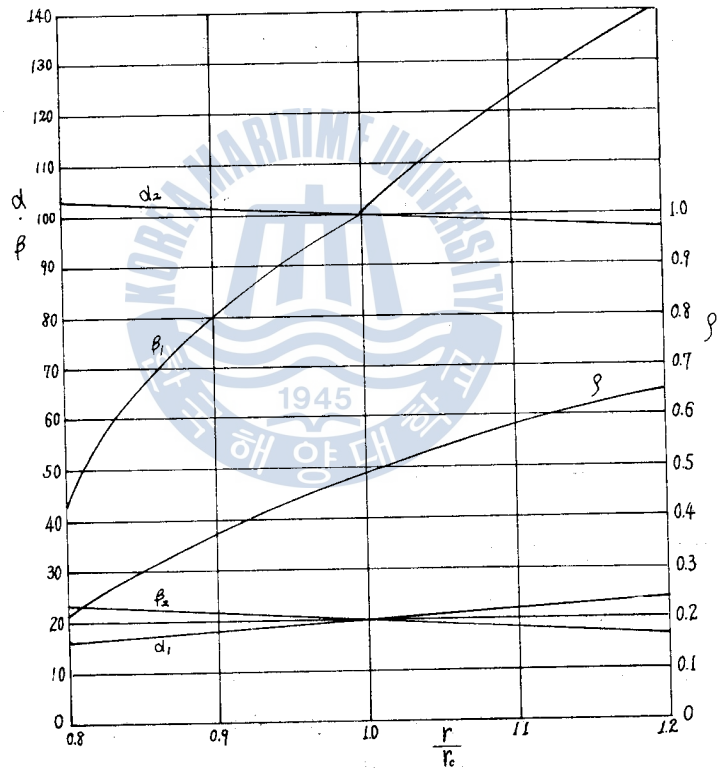


그림 5

로부터 自由渦의 條件 $C_{1u}r = (C_{1u})_cr_c$, $C_{2u}r = (C_{2u})_cr_c$, 와 $u = u_cr/r_c$ 의 關係를 代入하면

$$1 - \rho = \frac{1}{2u_c} \left(\frac{r_c}{r} \right)^2 \left\{ (C_{1u})_c + (C_{2u})_c \right\}$$

또한 $r = r_c$ 에서는

$$1 - \rho_c = \frac{1}{2u_c} \left\{ (C_{1u})_c + (C_{2u})_c \right\}$$

o] 므로

$$\frac{1-\rho_c}{1-\rho} = \left(\frac{r}{r_c} \right)^2 \quad \dots \dots \dots \quad (13)$$

이다. (13)式은 半徑方向의 反動度를 나타내는 式이다. (13)式에서 反動度 $\rho_c=0.5$ 인 경우에는 블레이드 밀端에서는 $\rho_t=0.22$, 尖端에서는 $\rho_t=0.65$ 으로 半徑方向으로 增加하는 것을 알 수 있다.

그림 5는 平均半徑에서의 $\alpha_1=20$, $\rho_c=0.5$, $\xi_c=1.0$ 인 경우의 自由渦 블레이드入口角, 出口角 및 反動度를 나타낸 것이다.

IV. 固定블레이드 出口角(α_1)이 一定한 블레이드

自由渦 블레이드에서의 α_1 이 半徑方向으로 變하기 때문에 비틀림 形으로 되는 것은前述한 바와 같다. 여기에서는 α_1 이 一定인 경우를 考察한다.

固定블레이드 出口에서의 Energy式은 自由渦 블레이드에서와 같다

$$C_{1f} \frac{dC_{1f}}{dr} + C_{1u} \frac{dC_{1u}}{dr} + \frac{C_{1u}^2}{r} = 0$$

$\alpha_1=$ 一定 $\circ]$ 므로 任意의 半徑 r 에서의 圓周方向分速度 C_s 는

$$C_{1u}=C_{1f}\text{Cot}\alpha_1 \quad \dots \dots \dots \quad (14)$$

(14)式을 上式에 代入하면

$$\frac{dC_{1u}}{dr}(1+\tan^2\alpha_1) + \frac{C_{1u}^2}{r} = 0$$

또 $1+\tan^2\alpha_1=\sec^2\alpha_1=\frac{1}{\cos^2\alpha_1}$ $\circ]$ 므로

$$\frac{dC_{1u}}{C_{1u}} = -\cos^2\alpha_1 \cdot \frac{dr}{r}$$

$$\therefore C_{1u} \cdot r^{\cos^2\alpha_1} = \text{一定} \quad \dots \dots \dots \quad (15)$$

즉 $\text{Cos}^2\alpha_1 < 1$ $\circ]$ 므로 圓周方向分速度의 變化는 自由渦 블레이드 보다 작다.

또 r_c 에서의 軸流速度를 $(C_{1f})_c$ 라면 (14), (15)式에서

$$\frac{C_{1f}}{(C_{1f})_c} = \frac{C_{1u} \tan\alpha_1}{(C_{1u})_c \ tan\alpha_1} = \left(\frac{r_c}{r} \right)^{\cos^2\alpha_1} \quad \dots \dots \dots \quad (16)$$

$\circ]$ 며, 固定블레이드에서 軸流速度는 半徑方向으로 減少하게 된다.

回轉블레이드에서는 半徑方向으로 일量이 均等하다고 假定하면

$$(W)_r = \frac{u}{g} (c_{1u} + c_{2u}) = \text{一定}$$

$$\therefore C_{2u} = \frac{g(W)_r}{u} - C_{1u}$$

식에 (15)식의 관계인 $C_{1u}r^{\cos^2\alpha_1} = (C_{1u})_cr_c^{\cos^2\alpha_1}$ 을 대입하면

$$C_{2u} = \frac{g(W)r}{r\omega} - (C_{1u})_c \left(\frac{r_c}{r} \right)^{\cos^2\alpha_1} \quad \dots\dots\dots(17)$$

이 고, 회전블레이드의 원주방향 분속도가定해진다. 또 軸流速度分布는 (8)식에 (15)식, (17)식을 대입하면

$$(C_{if})^2 - (C_{if})_c^2 = (C_{1f})_c^2 \left\{ \left(\frac{r_c}{r} \right)^{2\cos^2\alpha_1} - 1 - 2 \frac{g(W)r}{\omega r_c (C_{1u})_c} \frac{\left(\frac{r_c}{r} \right)^{1+\cos^2\alpha_1} - 1}{\frac{1}{\cos^2\alpha_1} + 1} \right\} \dots\dots\dots(18)$$

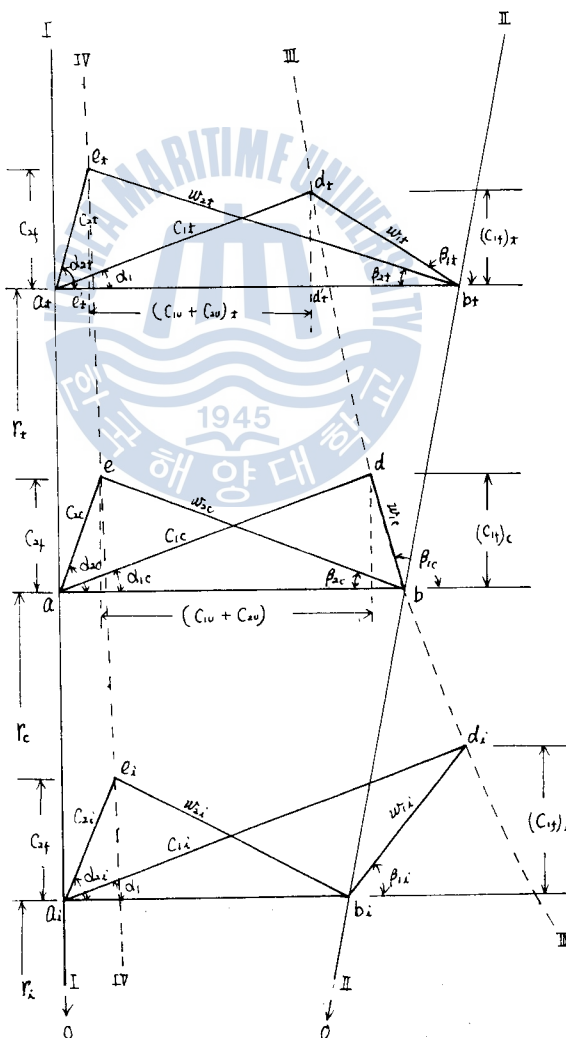


그림 6

$\frac{r}{r_c}$	d_1	d_2	β_1	β_2
0.8	20°	101°20'	50°30'	23°40'
0.9	20°	100°30'	78°35'	21°40'
1.0	20°	100°00'	100°00'	20°00'
1.1	20°	99°20'	126°30'	18°35'
1.2	20°	98°40'	143°20'	17°20'

표 2

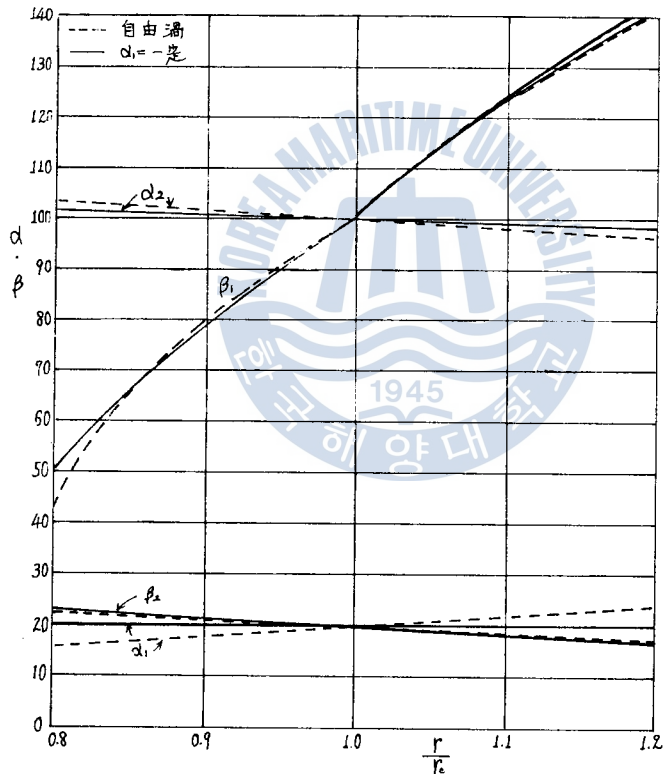


그림 7

이며, 右邊의 值은 微小하므로 近似的으로 軸流速度는 一定이라 볼 수 있다.

즉 $C_{1f} = \text{一定}$

回轉블레어드 出口의 速度線圖는 $(W)_r = \text{一定인}$ 關係로 부터

$$(C_{1u} + C_{2u})_t = \frac{g(W)_r}{u_t} = (C_{1u} + C_{2u}) \frac{r_c}{r_t}$$

이며, 이 값을 $\overline{d' e'}$ 로 잡고 $C_{1f} = \text{一定인}$ 線과의 交點을 e_t 라면 $aibie_t$ 는 出口의 速度線圖이다. 任

意의 r 에서의 速度線圖도 같은 方法으로 定하여 지며 α_1, α_2 및 β_1, β_2 의 變化를 알 수 있다. 그림 6은 $\alpha_1 = 20^\circ$, $\rho_c = 0.5$, $\xi_c = 1.0$ 인 경우의 블레이드 밑, 中央 尖端의 速度線圖이다.

블레이드 入口角, 出口角의 變化狀態는 그림 7에 實線으로 表示하였고 破線의 自由渦블레이드와 比較하였다.

V. 反動度가 一定한 블레이드

自由渦블레이드 및 $\alpha_1 = \text{一定}$ 인 블레이드는 入口角 β_{10} 半徑方向으로 크게 變한다.

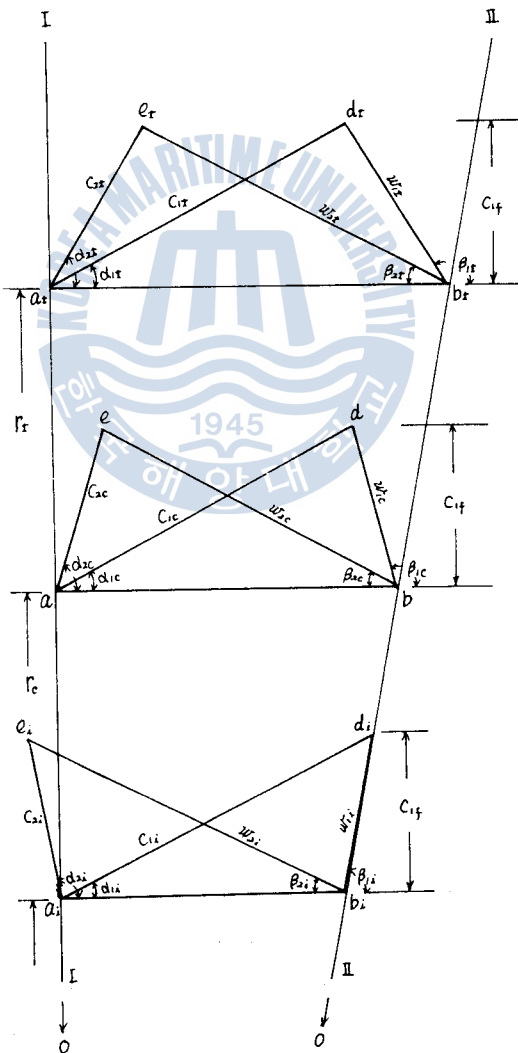


그림 8

$\frac{r}{r_c}$	$\beta_1 = \alpha_2$	$\beta_2 = \alpha_1$	ρ
0.8	66°30'	21°20'	0.5
0.9	88°20'	20°35'	0.5
1.0	100°00'	20°00'	0.5
1.1	115°35'	19°40'	0.5
1.2	125°50'	19°20'	0.5

豆 3

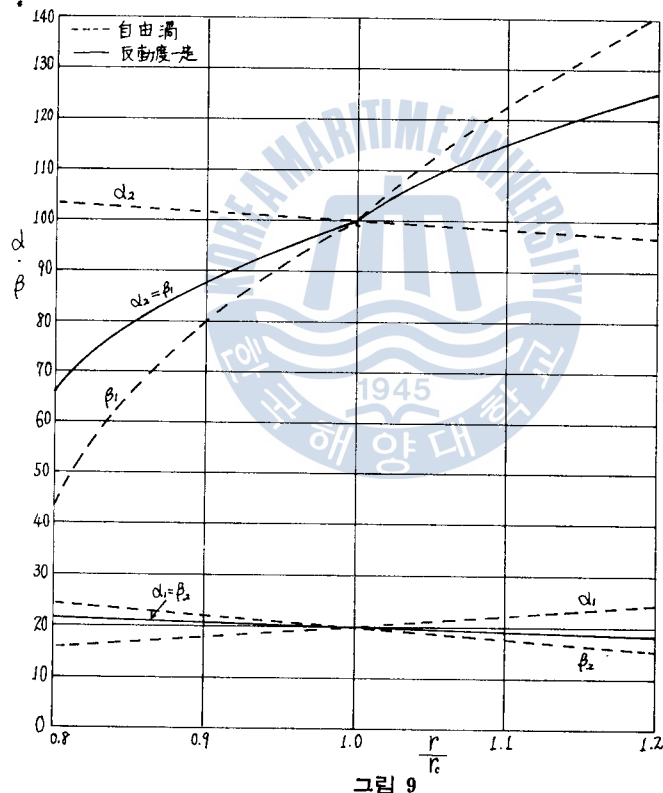


그림 9

즉 비틀림이 큰 形狀으로 된다. 그림 8은 反動度 $\rho_c = 0.5$ $\xi_c = 1.0$ 인 경우의 速度線圖를 表示하였다. 블레이드 中央 r_c 에서 入口 速度線圖 abd 가 주어지면 $\rho = 0.5$ 의 關係로부터 回轉블레이드 出口 速度線圖 abe 는 相似로서 쉽게 구하여 진다. 任意의 r 에서의 速度線圖에 對해서는 軸流速度를 一定하게 한다. ※ (附錄) 또 半徑上 에서의 $(W)_r = \text{一定}$ 이라면

$$(W)_r = \frac{u}{g} (C_{1u} - C_{2u}) = \text{一定}$$

따라서 $\overline{ed\cdot} = \overline{ed\cdot} \left(\frac{r_c}{r_t} \right)$ 로 되어 $C_{zf} = \text{一定인}$ 線上의 中央에 $\overline{ed\cdot}$ 의 點을 定하면 尖端에서의 線圖는 定해진다. 이와 같이 해서 求한 블레이드 入口角, 出口角을 自由渦블레이드와 比較하여 그림 9에 表示하였다. 이結果에 의하면 入口角 β_1 의 變化는 自由渦블레이드에 比해서 아주작고, 出口角 β_2 는 거히 一定이므로, 비틀림이 작은 블레이드形임을 알 수 있다.

V. 結論

最終段落의 블레이드 길이가 半徑에 比해 큰 경우에는 蒸氣의 흐름에 따른 마찰 및 渦流의 損失, 블레이드 入口端에서의 衝突, 틈에서의 漏洩等 諸要因을 無視하고 運動量 理論을 適用한 流路理論 解析으로 다음 結論을 얻을 수 있다.

- 1) 自由渦블레이드에서 β_1 은 半徑方向으로 變化가 크고 β_2, α_2 의 變化는 比較的 작게되지만 비틀림이 큰 形狀으로 된다.
- 2) 固定블레이드 出口角 $\alpha_1 = \text{一定인}$ 경우는 自由渦бл레이드와 거히 비슷하나 半徑方向의 變化量은 若干적다.
- 3) 反動度가 一定인 블레이드는 自由渦бл레이드에 比해 β_1 의 變化는 아주적고, β_2 는 거히 一定이므로 비틀림이 적은 形狀으로 된다.

※ 〈附 錄〉

※ 回轉블레이드 出口의 軸流速度 C_{zf} 에 對한 考察

回轉블레이드 出口, 入口의 對應하는 半徑上에서의 Energy 式은

$$P_1 V_1 \frac{k}{k-1} + \frac{C_{1f}^2}{2g} = P_2 V_2 \frac{k}{k-1} + \frac{C_{2f}^2}{2g} + (W)_r, \dots \quad (a)$$

蒸氣는 軸에 平行하게 흐르고 半徑方向의 分速度를 갖지 않는다고 하면

$$C_{1f}^2 = C_{1f} r^2 + C_{1u}^2, \quad C_{2f}^2 = C_{2f} r^2 + C_{2u}^2$$

이므로

$$P_1 V_1 \frac{k}{k-1} + \frac{1}{2g} (C_{1f}^2 + C_{1u}^2) = P_2 V_2 \frac{k}{k-1} + \frac{1}{2g} (C_{2f}^2 + C_{2u}^2) + (W)_r$$

Energy의 半徑方向의 變化는 r 로 微分하여

$$\begin{aligned} & \frac{k}{k-1} \left(V_1 \frac{dp_1}{dr} + p_1 \frac{dV_1}{dr} \right) + \frac{1}{g} \left(C_{1f} \frac{dC_{1f}}{dr} + C_{1u} \frac{dC_{1u}}{dr} \right) \\ & = \frac{k}{k-1} \left(V_2 \frac{dp_2}{dr} + p_2 \frac{dV_2}{dr} \right) + \frac{1}{g} \left(C_{2f} \frac{dC_{2f}}{dr} + C_{2u} \frac{dC_{2u}}{dr} \right) + \frac{d(W)_r}{dr} \dots (b) \end{aligned}$$

蒸氣는 半徑方向으로 $PV^k = \text{一定인}$ 關係로 變한다면

$$\frac{dV}{dr} = - \frac{V}{kp} \frac{dp}{dr}$$

☞ 브로 (b)式에 代入하면

$$gV_1 \frac{dp_1}{dr} + C_{1f} \frac{dC_{1u}}{dr} + C_{1u} \frac{dC_{1f}}{dr} = gV_2 \frac{dp_2}{dr} + C_{2f} \frac{dC_{2u}}{dr} + C_{2u} \frac{dC_{2f}}{dr} + g \frac{d(W)_r}{dr} \dots (c)$$

또 假定에서 $\frac{d(W)_r}{dr} = 0, \frac{dC_{1f}}{dr} = 0$ ☞ 고

環狀流路의 平衡式인

$$\frac{dp}{dr} = \frac{1}{gV} \left(\frac{C^2_u}{r} \right)$$

을 利用하면

$$C_{1u} \frac{dC_{1u}}{dr} + \frac{C^2_{1u}}{r} = C_{2f} \frac{dC_{2f}}{dr} + C_{2u} \frac{dC_{2u}}{dr} + \frac{C^2_{2u}}{r} \dots (d)$$

또한

$$\begin{aligned} u &= C_{1u} + C_{2u} \\ \frac{u}{g} (C_{1u} - C_{2u}) &= (W)_r \end{aligned} \quad \left. \begin{array}{l} \text{로 부터} \\ \text{From} \end{array} \right\}$$

$$C_{1u} = \frac{1}{2} \left\{ u + \frac{g(W)_r}{u} \right\}$$

$$C_{2u} = -\frac{1}{2} \left\{ u - \frac{g(W)_r}{u} \right\}$$

을 (d)式에 代入하면

$$C_{2f} \frac{dC_{2f}}{dr} = -\frac{g(W)_r}{r}$$

$$\therefore \frac{dC_{2f}^2}{dr} = \frac{2g(W)_r}{r} \dots (e)$$

$r=r_c$ 에서 $C_{2f}=(C_{2f})_c$ 라 定하고 윗式을 積分하면

$$C_{2f}^2 - (C_{2f})_c^2 = 2g(W)_r \log \frac{r}{r_c} \dots (f)$$

(f)式에서는 軸流速度는 半徑方向으로 增加하는 것이며 $C_{2f}=$ 一定의 假定은 成立하지 않으나, 實際 蒸氣의 流線은 軸에 平行하지 않고 半徑方向의 分速度를 考慮하면 그림 A와 같이 波形으로 흐르게 된다. 回轉블레이드 前後의 流線의 曲率半徑을 R_1, R_2 라 하면 遠心力 $C_{2f}^2/R_1, C_{2f}^2/R_2$ 가 作用한다. 따라서 (d)式에서

